

**сообщения  
объединенного  
института  
ядерных  
исследований  
Дубна**

**P17-86-761**

**Г.М.Вуйичич\*, Н.М.Плакида, С.Стаменкович\***

**НЕУПРУГОЕ РАССЕЯНИЕ НЕЙТРОНОВ  
В СТЕКЛАХ**

---

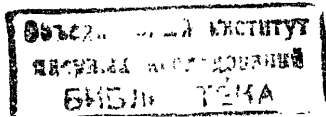
\* Институт ядерных наук им.Б.Кидрича, СФРЮ

Неупругое рассеяние нейтронов в стеклах показывает, что плотность колебательных состояний в них в области низких энергий,  $\hbar\omega \lesssim 10$  мэВ, заметно превышает спектральную плотность частот акустических колебаний, а в металлических стеклах оказывается выше спектральной плотности частот соответствующих поликристаллических фаз (см. <sup>1/</sup> и, например, <sup>2/</sup>). Изучение влияния аморфизации на колебательную теплоемкость металлических сплавов подтверждает существование избыточной плотности колебательных состояний в аморфной фазе в этой же области энергий <sup>3/</sup>.

Хорошо известны также низкотемпературные аномалии в стеклах при  $T \lesssim 1$  К, которые обычно связывают с наличием специфических возбуждений туннельного типа с энергией  $\hbar\omega \lesssim 0,1$  мэВ, предложенных в <sup>4,5/</sup>. Исследование их с помощью неупругого рассеяния нейтронов не проводилось, и, как показывают оценки в <sup>6/</sup>, оно представляет собой весьма сложную задачу.

Появление низколежащих колебательных возбуждений, как туннельного, так и резонансного типа, можно связать, в рамках более общей модели <sup>7/</sup>, с возникновением неоднородных атомных потенциалов, обусловленных флуктуациями ближнего порядка в топологически неупорядоченной системе. При этом взаимодействие резонансных, сильно ангармонических колебаний квазилокального типа с акустическими фононами и объясняет повышенную плотность колебательных состояний в стеклах, наблюдаемую при неупругом рассеянии нейтронов в <sup>1,2/</sup> и при измерении теплоемкости в <sup>3/</sup>.

В настоящей работе рассматривается общая теория неупругого рассеяния нейтронов в стеклах. Помимо рассеяния на длинноволновых колебаниях акустического типа — фононах, которое обсуждалось, например в <sup>8,9/</sup>, в работе учитывается специфическое для стекол рассеяние на сильно ангармонических колебаниях (КЛК). Для описания последних использовано псевдоспиновое представление, как в модели двухуровневых систем в <sup>4,5/</sup>, но с другой функцией распределения энергий возбуждения. В первом разделе получено общее выражение для сечения неупругого рассеяния, в разделе 2 рассмотрено рассеяние на КЛК, в разделе 3 — на фононах, а в разделе 4 проведено сравнение интенсивностей обоих типов рассеяния и дано качественное сопоставление с экспериментом.



# 1. ОБЩЕЕ ВЫРАЖЕНИЕ ДЛЯ СЕЧЕНИЯ РАССЕЯНИЯ НЕЙТРОНОВ

Дифференциальное сечение рассеяния нейтронов, отнесенное к элементу телесного угла  $d\Omega$  и интервалу энергий  $dE$ , согласно общей теории Ван Хова можно записать в следующем виде (см., например, /10/):

$$\frac{d^2\sigma}{d\Omega dE} = \frac{p}{p_0} \frac{1}{N} \sum_{i,j}^N a_i a_j F_{ij}(\vec{\kappa}, \omega), \quad (1)$$

где  $\hbar\vec{\kappa} = \vec{p}_0 - \vec{p}$  и  $\hbar\omega = E_0 - E$  — изменение импульса и энергии нейтрона при рассеянии,  $\vec{p}_0$ ,  $E_0 = p_0^2/2m$  и  $\vec{p}$ ,  $E = p^2/2m$  — импульсы и энергии падающего и рассеянного нейтрона, а  $a_i$  — амплитуда рассеяния нейтрона на  $i$ -м ядре. Корреляционная функция

$$F_{ij}(\vec{\kappa}, \omega) = \frac{1}{2\pi\hbar} \int_{-\infty}^{\infty} dt e^{-i\omega t} \langle e^{-i\vec{\kappa}\vec{r}_i(0)} e^{i\vec{\kappa}\vec{r}_j(t)} \rangle \equiv \langle e^{-i\vec{\kappa}\vec{r}_i} | e^{i\vec{\kappa}\vec{r}_j} \rangle_{\omega} \quad (2)$$

описывает пространственно-временную корреляцию в расположении ядер, координаты которых в момент времени  $t$  задаются операторами  $\vec{r}_i(t)$ . Статистическое среднее  $\langle \dots \rangle$  вычисляется по равновесному состоянию системы  $N$  частиц.

Предположим, что временная зависимость координат атомов в стекле может быть записана в общем виде:

$$\vec{r}_i(t) = \vec{R}_i + \vec{u}_i(t) + t_i \vec{x}_i(t), \quad (3)$$

где  $\vec{R}_i = \langle \vec{r}_i(t) \rangle$  — равновесные положения атомов, которые задают топологически неупорядоченную сетку узлов в системе,  $\vec{u}_i(t)$  — смещение атомов акустического типа и  $\vec{x}_i(t)$  — характерные для стекол динамические смещения, описывающие сильно ангармонические колебания квазилокального типа. Проекционный оператор  $t_i = 1$ , если  $i$ -й атом участвует в КЛК, и  $t_i = 0$  для остальных атомов. Кон-

центрация таких атомов,  $n_0 = (1/N) \sum_i t_i$ , обычно мала:  $n_0 \sim 10^{-4}$ ,

но зависит от метода приготовления образца.

Учитывая (3), корреляционную функцию (2) запишем в виде

$$F_{ij}(\vec{\kappa}, \omega) = e^{-i\vec{\kappa}(\vec{R}_i - \vec{R}_j)} \langle A_i^+ B_i^+ | A_j B_j \rangle_{\omega}, \quad (4)$$

где  $A_i = e^{i\vec{\kappa}\vec{u}_i}$ ;  $B_i = e^{i\vec{\kappa}\vec{x}_i t_i} \equiv (1 - t_i) + t_i e^{i\vec{\kappa}\vec{x}_i}$ . (5)

Упругое рассеяние в (1) определяется асимптотическим поведением временной корреляционной функции в (2) при  $t \rightarrow \infty$ . Вычтя упругий вклад, определим неупругую составляющую рассеяния. Она описывается корреляционной функцией

$$F'_{ij}(\vec{\kappa}, \omega) = e^{-i\vec{\kappa}(\vec{R}_i - \vec{R}_j)} e^{-w_i} e^{-w_j} \{ \langle \delta B_i^+ | \delta B_j \rangle_{\omega} + \quad (6)$$

$$+ f_i f_j \langle \delta A_i^+ | \delta A_j \rangle_{\omega} + f_i \langle \delta A_i^+ | \delta B_j \rangle_{\omega} + f_j \langle \delta B_i^+ | \delta A_j \rangle_{\omega} \},$$

где опущены члены с произведением  $\delta A_i \delta B_i$  и введены обозначения:

$$\langle A_i \rangle = \langle e^{i\vec{\kappa}\vec{u}_i} \rangle = e^{-w_i}, \quad \delta A_i = A_i - \langle A_i \rangle, \quad (7)$$

$$\langle B_i \rangle = (1 - t_i) + t_i \langle e^{i\vec{\kappa}\vec{x}_i} \rangle \equiv f_i, \quad \delta B_i = B_i - \langle B_i \rangle.$$

Учитывая, что концентрация атомов, участвующих в КЛК, обычно мала и поэтому  $f_i \approx 1$ , неупругое сечение рассеяния запишем в виде

$$\left( \frac{d^2\sigma}{d\Omega dE} \right)_{inel} = \frac{p}{p_0} \frac{1 + N(\omega)}{\pi N} \sum_{ij} a_i a_j e^{-w_i} e^{-w_j} e^{-i\vec{\kappa}(\vec{R}_i - \vec{R}_j)} \times \quad (8)$$

$$\times \text{Im} \{ \chi_{ij}^{11}(\vec{\kappa}, \omega) + \chi_{ij}^{22}(\vec{\kappa}, \omega) + \chi_{ij}^{12}(\vec{\kappa}, \omega) + \chi_{ij}^{21}(\vec{\kappa}, \omega) \},$$

где введены динамические восприимчивости:

$$\chi_{ij}^{\alpha\gamma} = - \langle \langle C_i^{(\alpha)+} | C_j^{(\gamma)} \rangle \rangle_{\omega}, \quad (9)$$

выражающиеся через двухвременные запаздывающие функции Грина:

$$\langle \langle A | B \rangle \rangle_{\omega}^{/11/}, \quad C_i^{(1)} = \delta A_i, \quad C_i^{(2)} = \delta B_i; \quad N(\omega) = [\exp(\beta\omega) - 1]^{-1}.$$

Первый член в (8) описывает неупругое рассеяние нейтронов на акустических колебаниях атомов, второй — на КЛК, третий и четвертый — интерференционное неупругое рассеяние.

## 2. РАССЕЯНИЕ НЕЙТРОНОВ НА КВАЗИЛОКАЛЬНЫХ КОЛЕБАНИЯХ

Ввиду низкой концентрации атомов, участвующих в КЛК, можно предположить, что в отдельном КЛК участвует небольшая изолирован-

ная группа атомов, которую можно рассматривать как "молекулу", взаимодействующую с акустическими колебаниями. Обозначим координаты атомов, относящихся к  $\ell$ -му КЛК ( $\ell$ -й "молекуле"), как  $\vec{x}_i(\ell)$  и введем локальные нормальные координаты для данного КЛК:

$$\xi_\lambda(\ell) = \sum_{i \in \ell} \vec{e}_\lambda^i(\ell) \vec{x}_i(\ell) \sqrt{M_i}, \quad (10)$$

где  $\vec{e}_\lambda^i(\ell)$  — векторы поляризации моды  $\lambda$  для  $i$ -го атома с массой  $M_i$ . Низколежащие моды возбуждения "молекулы" соответствуют сильно ангармоническим колебаниям в эффективном неоднородном потенциале  $U(\xi)$  (см. /7/). В работе /2/, например, в качестве таких возбуждений рассматривались либрационные моды тетраэдра  $\text{SiO}_4$ . Учитывая лишь два низших уровня, гамильтониан КЛК запишем в псевдоспиновом представлении (см., например, /12/):

$$H = \sum_{\ell} H_{\ell} = \sum_{\ell} E_{\ell} S_{\ell}^z + \sum_{\ell} (\hat{\lambda}_{\ell}^x S_{\ell}^x + \hat{\lambda}_{\ell}^z S_{\ell}^z) \hat{u}(\ell), \quad (11)$$

где  $S_{\ell}^{\alpha}$  — операторы спина  $S = 1/2$ ,  $E_{\ell} = \epsilon_{1\ell} - \epsilon_{0\ell}$ ,  $\hat{\lambda}_{\ell}^{\alpha} = \lambda_{\mu\ell}^{\alpha}$  — константы взаимодействия КЛК с локальной деформацией  $\hat{u}(\ell) = u_{\mu}(\ell)$ . Собственные энергии  $\epsilon_{n\ell}$  и волновые функции  $\psi_{n\ell}$  двух нижних уровней  $n = 0, 1$  определяются из уравнения  $H_{\ell} \psi_{n\ell} = \epsilon_{n\ell} \psi_{n\ell}$ .

Хотя гамильтониан (11) имеет тот же вид, что и используемый в модели туннельных возбуждений, в нашей модели псевдоспиновое представление (11) является лишь удобной формой описания сильно ангармонических КЛК. При этом при усреднении по распределению КЛК будем предполагать, что, в отличие от постоянной плотности в модели туннельных возбуждений, распределение энергий КЛК  $E$  имеет лоренцевский вид при  $E \leq E_0$ :

$$P(E) = \frac{n_0}{\pi} \frac{\Delta}{(E_r - E)^2 + \Delta^2}, \quad (12)$$

с параметрами распределения:  $E_r$  — характерной энергией КЛК, шириной  $\Delta \sim E_r$  и их концентрацией  $n_0 = (N_{\ell}/N)$ ;  $E_0$  — максимальная энергия КЛК ( $E_0 \gg E_r$ ).

Псевдоспиновое представление удобно также при анализе восприимчивости (9) для КЛК, поскольку позволяет представить оператор  $B_1$  в (5) в виде (см., например, /12/)

$$e^{i\vec{\kappa}\vec{x}_i} = \alpha_i(\kappa) I_{\ell} + 2\beta_i(\kappa) S_{\ell}^x + 2\gamma_i(\kappa) S_{\ell}^z, \quad (13)$$

где введены формфакторы для  $\ell$ -го КЛК:

$$\alpha_i(\kappa) = \frac{1}{2} \int d\xi e^{i\vec{\kappa}\vec{x}_i} \{ |\psi_0(\xi)|^2 + |\psi_1(\xi)|^2 \},$$

$$\beta_i(\kappa) = \int d\xi e^{i\vec{\kappa}\vec{x}_i} \psi_0(\xi) \psi_1(\xi), \quad (14)$$

$$\gamma_i(\kappa) = \frac{1}{2} \int d\xi e^{i\vec{\kappa}\vec{x}_i} \{ |\psi_0(\xi)|^2 - |\psi_1(\xi)|^2 \}.$$

Вычисление формфакторов требует определенной модели КЛК. В случае достаточно большой величины потенциального барьера, разделяющего два состояния: "левое"  $\psi_L(\xi)$  и "правое"  $\psi_R(\xi)$ , оценка их имеет вид (см. /12/)

$$\alpha_i(\kappa) \approx \cos(\kappa d_i), \quad \beta_i = i \sin(\kappa d_i), \quad \gamma_i(\kappa) \approx \rho \cos(\kappa d_i), \quad (14a)$$

где  $2d_i$  — область смещений  $i$ -го атома при КЛК,  $\rho = \langle \psi_L / \psi_R \rangle \sim \exp(-\lambda)$  — малый интеграл перекрытия.

В представлении (13) неупругое рассеяние на КЛК в (8) записывается в виде

$$\left( \frac{d^2\sigma}{d\Omega dE} \right)_{\text{КЛК}} = \frac{p}{p_0} \frac{1 + N(\omega)}{N} \sum_{\ell, \alpha = x, z} |G_{\ell}^{\alpha}(\kappa)|^2 \frac{4}{\pi} \text{Im} \chi_{\ell}^{\alpha}(\omega), \quad (15)$$

где структурный фактор для  $\ell$ -го КЛК

$$|G_{\ell}^x(\kappa)|^2 = \left| \sum_{i \in \ell} \bar{a}_i e^{-w_i} e^{-i\vec{\kappa}\vec{R}_i} \beta_i(\kappa) \right|^2 + \sum_{i \in \ell} \frac{\sigma_i}{4\pi} e^{-2w_i} |\beta_i(\kappa)|^2, \quad (16)$$

а  $|G_{\ell}^z(\kappa)|^2$  определяется (16) при замене  $\beta_i(\kappa)$  на  $\gamma_i(\kappa)$ ;  $\bar{a}_i$  — когерентная амплитуда рассеяния, а  $\sigma_i$  — некогерентное сечение рассеяния для  $i$ -го ядра. Соответственно, первое слагаемое в (16) описывает когерентную составляющую рассеяния. Динамическая восприимчивость  $\chi_{\ell}^x = -\langle\langle S_{\ell}^x | S_{\ell}^x \rangle\rangle_{\omega}$  определяет резонансное рассеяние с возбуждением КЛК, а  $\chi_{\ell}^z = -\langle\langle \delta S_{\ell}^z | \delta S_{\ell}^z \rangle\rangle_{\omega}$  — квазиупругое рассеяние, связанное с релаксацией КЛК. Рассмотрим оба вклада, учитывая явный вид функций  $\chi_{\ell}^{\alpha}(\omega)$ , полученных в общем виде для гамильтониана (11), например, в работе /13/.

Для поперечной восприимчивости  $\chi_{\ell}^x(\omega) \equiv \chi_T(\omega)$  имеем согласно /13/ представление

$$\text{Im} \chi_T(\omega) = ES \frac{2\omega \Gamma_T(\omega)}{[E^2 - 2\omega R_T(\omega) - \omega^2]^2 + [2\omega \Gamma_T(\omega)]^2}, \quad (17)$$

где  $S = -\langle S_{\ell}^z \rangle \approx (1/2) \text{th}(\beta E/2)$  — средняя заселенность и введены действительная и мнимая части матрицы релаксации  $N_T(\omega + i\epsilon) = 2R_T(\omega) - i2\Gamma_T(\omega)$ , описывающей взаимодействие КЛК с акустическими фононами (для металлического стекла — и с электронами проводимости). Приведем здесь из [13] лишь выражение для  $\Gamma_T(\omega)$  в случае слабой связи КЛК с фононами:

$$\Gamma_T(\omega) = \frac{E}{4\omega} \text{cth} \frac{\beta E}{2} F''_{ph}(\omega) \approx \frac{\pi}{8} \Lambda \omega_D E Z(\omega) \text{cth} \frac{E}{2T}, \quad (18)$$

где введены спектральная плотность акустических фононов  $Z(\omega) \approx 3\omega^2/\omega^3$ , безразмерная константа связи  $\Lambda = (1/3\pi)(\omega_D/\omega_c)^2$ ,  $\omega_D = sq_D$ ,  $q_D^3 = (6\pi^2/v)$ ,  $\omega_c^2 = 2\pi^2 s^5 \rho / |\lambda^x|^2$ . Здесь  $s$  — усредненная скорость звука,  $\rho = M/v$  — плотность,  $v$  — объем на один атом. Взаимодействие КЛК с электронами проводимости в случае металлических стекол существенно лишь в области низких температур,  $E \leq 0,1$  мэВ (см., например, [14]), и поэтому далее не учитывается.

Заменяя теперь суммирование по  $\ell$  в (15) на интегрирование по энергиям возбуждений КЛК с распределением (12), для функции резонансного рассеяния получим

$$S_{\text{КЛК}}(\kappa, \omega) = [1 + N(\omega)] \int_0^{E_0} P(E) dE |G_{\rho}^x(\kappa)|^2 \frac{4}{\pi} \text{Im} \chi_E^x(\omega) \approx [1 + N(\omega)] \langle |G_{\rho}^x(\kappa)|^2 \rangle_{\rho} \frac{1}{\omega_D} D_T(\frac{\omega}{\omega_D}). \quad (19)$$

Предполагая, что структурный фактор (16) не зависит существенно от  $E$ , мы ввели его среднее значение  $\langle |G_{\rho}^x(\kappa)|^2 \rangle_{\rho} = (1/N_{\rho}) \sum_{\rho} |G_{\rho}^x|^2$  и усредненную безразмерную спектральную плотность состояний:

$$D_T(\nu) = \frac{n_0}{\pi} \int_0^{\epsilon_0} \frac{\delta d\epsilon}{(\epsilon_r - \epsilon)^2 + \delta^2} \frac{2\epsilon}{\pi} \text{th} \frac{\epsilon}{2t} \frac{2\nu \gamma(\epsilon, \nu)}{[\epsilon^2 - \nu^2 \tilde{R}(\nu) - \nu^2]^2 + 4\nu^2 \gamma^2(\epsilon, \nu)}, \quad (20)$$

где введены безразмерные переменные:  $\nu = \omega/\omega_D$ ,  $\epsilon = E/\omega_D$ ,  $\delta = \Delta/\omega_D$  и  $t = (1/\beta\omega_D)$ . При этом

$$\gamma(\nu, \epsilon) = \frac{1}{\omega_D} \Gamma_T(\omega) = \Lambda \frac{3\pi}{8} \epsilon \nu^2 \text{cth} \frac{\epsilon}{2t}. \quad (21)$$

В общем случае анализ частотной и температурной зависимости спектральной плотности (20) требует численного интегрирования. Для оценок рассмотрим два предельных случая:

- 1)  $\gamma(\nu, \epsilon) \ll \epsilon$ ,  $\gamma(\nu, \epsilon) \ll \delta \sim \epsilon_r \ll 1$ ;
- 2)  $\delta \ll \epsilon_r$ ,  $\delta \ll \gamma(\nu, \epsilon_r)$ .

В первом случае приближенное интегрирование динамической восприимчивости дает

$$D_T(\nu) \approx \frac{n_0}{\pi} \text{th} \frac{\nu}{2t} \frac{\delta}{(\epsilon_r - \nu)^2 + \delta^2}. \quad (20a)$$

Во втором случае после интегрирования по распределению  $P(\epsilon) \approx n_0 \delta(\epsilon - \epsilon_r)$  получим

$$D_T(\nu) \approx n_0 \text{th} \frac{\epsilon_r}{2t} \frac{2\epsilon_r}{\pi} \frac{2\nu \gamma(\epsilon_r, \nu)}{(\epsilon_r^2 - \nu^2)^2 + 4\nu^2 \gamma^2(\epsilon_r, \nu)}. \quad (20b)$$

Спектральная плотность (20a) или (20b) может быть достаточно высокой,  $D_T(\nu \approx \epsilon_r) \gg n_0$  при  $\delta \ll 1$  или  $\gamma(\epsilon_r) \ll 1$  в области  $t \leq \epsilon_r$ . Сопоставление ее с фононной плотностью состояний будет проведено в разделе 4.

Квазиупругое рассеяние в (15) определяется продольной восприимчивостью:  $\chi_{\ell}^z(\omega) \equiv \chi_L^z(\omega)$ , которую согласно [13] представим в виде

$$\text{Im} \chi_L^z(\omega) = \chi_L^0 \frac{\omega \Gamma_L(\omega)}{\omega^2 + \Gamma_L^2(\omega)}, \quad (22)$$

где статическая продольная восприимчивость  $\chi_L^0 \approx [4T \text{ch}^2(E/2T)]^{-1}$  и затухание, связанное с продольной релаксацией, имеет вид

$$\Gamma_L(\omega) = -\frac{1}{\chi_L^0} \text{Im} N_L(\omega) = \frac{1}{8\omega \chi_L^0} \left\{ (1 - \text{th} \frac{E}{2T} \text{cth} \frac{E+\omega}{2T}) F''(\omega + E) + (1 - \text{th} \frac{E}{2T} \text{cth} \frac{E-\omega}{2T}) F''(E - \omega) \right\}. \quad (23)$$

Функция  $F''(\omega)$ , описывающая взаимодействие КЛК с фононами, определена в (18). При  $\omega \rightarrow 0$  имеем  $\Gamma_L(\omega \rightarrow 0) \approx (1/2) \text{cth}(E/2T) F''(E) = 2\Gamma_T(\omega = E)$ .

Подставляя (22) в (15) и выполняя усреднение по энергиям  $E$  с функцией (12) аналогично (19), для интенсивности квазиупругого рассеяния получим

$$\frac{1}{\omega_D} D_L(\frac{\omega}{\omega_D}) = \int_0^{E_0} P(E) dE \frac{4}{\pi} \text{Im} \chi_L^z(\omega) =$$

$$= \frac{1}{\omega_D} \frac{n_0}{\pi} \frac{\epsilon_0}{\int_0^{\epsilon_r} \frac{\delta d\epsilon}{(\epsilon_r - \epsilon)^2 + \delta^2}} \frac{1}{\pi t \operatorname{ch} \frac{\epsilon_r}{2t}} \frac{\nu \gamma_L(\nu, \epsilon)}{\nu^2 + \gamma_L^2(\nu, \epsilon)}, \quad (24)$$

где введены безразмерные переменные, как и в (20), и  $\gamma_L(\nu, \epsilon) = \Gamma_L(\omega)/\omega_D$ . Учитывая, что основной вклад в квазиупругое рассеяние дает область частот  $\nu \rightarrow 0$  и полагая  $\delta \ll \epsilon_r$  и  $\gamma_L(\nu=0, \epsilon) = 2\gamma_T(\epsilon_r)$ , получим

$$D_L(\nu) = \frac{n_0}{\pi t} \frac{1}{\operatorname{ch}^2 \frac{\epsilon_r}{2t}} \frac{2\nu \gamma_T(\epsilon_r)}{\nu^2 + 4\gamma_T^2(\epsilon_r)}. \quad (24a)$$

Более полный анализ интенсивности квазиупругого рассеяния (24) с учетом (23) требует численного интегрирования. Некоторые предельные случаи формулы (24) рассмотрены в [6] для модели туннельных возбуждений. В целом же экспериментальное наблюдение квазиупругого рассеяния (24) представляет весьма сложную задачу ввиду достаточного сильного упругого рассеяния в стеклах (см., например, [2]).

### 3. РАССЕЙНИЕ НА ФОНОНАХ

Неупругое рассеяние нейтронов на акустических колебаниях атомов определяется первым членом в (8), который в однофононном приближении описывается следующей функцией рассеяния:

$$S_{ph}(\kappa, \omega) = [1 + N(\omega)] \frac{1}{N} \sum_{i,j} a_i a_j e^{-w_i} e^{-w_j} e^{-i\kappa(\vec{R}_i - \vec{R}_j)} \times \\ \times \left[ -\frac{1}{\pi} \operatorname{Im} \langle \langle \vec{u}_i | \vec{u}_j \rangle \rangle_{\omega + i\epsilon} \right]. \quad (25)$$

Учитывая, что в длинноволновом приближении акустические смещения атомов приближенно описываются плоскими волнами [8,9]:

$$u_i^\alpha = \frac{1}{\sqrt{NM}} \sum_{q\lambda} e^{i\vec{q}\vec{R}_i} e^{i\alpha} u_{q\lambda},$$

фононную функцию Грина в (25) представим в виде

$$\langle \langle \vec{u}_i | \vec{u}_j \rangle \rangle_{\omega} = \frac{1}{NM} \sum_{q\lambda} e^{i\vec{q}(\vec{R}_i - \vec{R}_j)} (\vec{\kappa} \vec{e}_{q\lambda})^2 \frac{1}{\omega^2 - \omega_{q\lambda}^2}, \quad (26)$$

где  $M = (1/N) \sum M_i$  — средняя масса атомов,  $e_{q\lambda}^\alpha$  и  $\omega_{q\lambda} \approx s_\lambda q$  — векторы поляризации и частоты акустических колебаний ( $\lambda = 1, 2$  — поперечных и  $\lambda = 3$  — продольных),  $s_\lambda$  — скорость звука. Функция рассеяния в этом приближении принимает вид

$$S_{ph}(\kappa, \omega) = [1 + N(\omega)] \frac{1}{N} \sum_{q\lambda} |G_{q\lambda}(\kappa)|^2 \frac{\omega}{|\omega|} \delta(\omega^2 - \omega_{q\lambda}^2), \quad (27)$$

где

$$|G_{q\lambda}(\kappa)|^2 = \frac{1}{N} \left| \sum_i \bar{a}_i e^{-w_i} e^{-i(\vec{\kappa} - \vec{q}) \cdot \vec{R}_i} \frac{(\vec{\kappa} \vec{e}_{q\lambda})^2}{\sqrt{M}} + \right. \\ \left. + \frac{1}{N} \sum_i \frac{\sigma_i}{4\pi} e^{-2w_i} \frac{(\vec{\kappa} \vec{e}_{q\lambda})^2}{M} \right|^2 \quad (27a)$$

— структурный фактор однофононного рассеяния. Первый член в (27a) описывает когерентное, а второй — некогерентное рассеяние (ср. с (16)). Усреднение структурного фактора по направлению вектора рассеяния  $\vec{\kappa}$  приводит к следующему выражению для функции рассеяния (27) [9]:

$$S_{ph}(\kappa, \omega) = [1 + N(\omega)] \frac{\kappa^2}{M} \frac{Z(\omega)}{2\omega} [\tilde{I}_0^K(\kappa) + I_0^{HK}(\kappa)], \quad (28)$$

где введены спектральная плотность фононных состояний:

$$Z(\omega) = \frac{1}{3N} \sum_{q\lambda} \delta(|\omega| - \omega_{q\lambda}), \quad (29)$$

и структурные факторы когерентного и некогерентного рассеяния. В длинноволновом приближении ( $q \ll \kappa$ ) первый из них описывается формулой

$$\tilde{I}_0^K(\kappa) = \frac{1}{2} \int_{-1}^1 dz I_0^K[(\kappa^2 + q^2 + 2\kappa qz)^{1/2}] \times \\ \times \left[ \frac{1}{2}(1 - z^2)(|\vec{e}_{q1}|^2 + |\vec{e}_{q2}|^2) + z^2 |\vec{e}_{q3}|^2 \right] \approx \frac{1}{2} \int_{-1}^1 dz I_0(\kappa + qz), \quad (30)$$

где  $q$  — средний импульс фонона при заданной частоте  $\omega \approx sq$ ,

$$I_0^K(\kappa) = \frac{1}{N} \sum_{ij} \bar{a}_i \bar{a}_j e^{-w_i} e^{-w_j} \frac{\sin(\kappa R_{ij})}{\kappa R_{ij}}, \quad R_{ij} = |\vec{R}_i - \vec{R}_j| \quad (30a)$$

— интенсивность упругого когерентного рассеяния. При выводе (30) было учтено, что в пределе длинных волн  $|\vec{e}_{q\lambda}|^2 = 1$ . Некогерентный

вклад в (28) пропорционален интенсивности упругого некогерентного рассеяния:

$$I_0^{\text{НК}}(\kappa) = \frac{1}{N} \sum_i \frac{\sigma_i}{4\pi} e^{-2w_i} \quad (31)$$

Отметим, что когерентное рассеяние в стеклах носит диффузный характер, поскольку в них, в отличие от кристаллов, закон сохранения квазиимпульса  $\vec{\kappa} = \vec{\tau} \pm \vec{q}$  ( $\vec{\tau}$  — вектор обратной решетки) не выполняется, хотя оно и имеет четко выраженную зависимость от вектора рассеяния  $\kappa$  (в отличие от некогерентного рассеяния), определяемую когерентным упругим формфактором (30). Как и в кристаллах, рассеяние на фононах с  $q \ll \kappa$  происходит "с перебросом", когда импульс нейтрона отдается всей системе.

Таким образом, суммарное (когерентное и некогерентное) неупругое однофононное рассеяние в стеклах оказывается пропорциональным интенсивности полного упругого рассеяния  $I_0(\kappa)$ :

$$S_{\text{ph}}(\kappa, \omega) = [1 + N(\omega)] \frac{\kappa^2}{M} \frac{Z(\omega)}{2\omega} I_0(\kappa), \quad (32)$$

что позволяет рассчитать функцию однофононного рассеяния (32), если интенсивность  $I_0(\kappa)$  известна из независимых измерений упругого рассеяния (см. /2, 9/).

#### 4. ОБСУЖДЕНИЕ

Согласно полученным в настоящей работе результатам полную функцию неупругого рассеяния, учитывая (8), (32) и (19), можно записать в виде

$$S(\kappa, \omega) = [1 + N(\omega)] \left\{ \frac{\kappa^2}{M} \frac{Z(\omega)}{2\omega} I_0(\kappa) + \langle |G_{\ell}^x(\kappa)|^2 \rangle_{\ell} \frac{1}{\omega_D} D_T\left(\frac{\omega}{\omega_D}\right) \right\}, \quad (33)$$

где мы не учли вклада интерференционных членов (см. (8)) и опустили вклад квазиупругого рассеяния на КЛК (24). Сравнение функции полного рассеяния (33) с экспериментально измеренной интенсивностью неупругого рассеяния и независимое вычисление однофононного вклада (32) позволяет определить интенсивность "добавочного" рассеяния, которое мы связываем с рассеянием на КЛК — вторым членом в (33).

Подобный расчет был проведен в работе /2/ при анализе неупругого рассеяния в стекле  $\text{SiO}_2$ . Полученный авторами дополнительный вклад в рассеяние  $\Delta Z(\nu) \sim 10^{-2} (\text{ТГц})^{-1}$ , который они связали с локальными либрационными колебаниями изолированной группы тетраэдров  $\text{SiO}_4$ , оказался сравнимым с плотностью туннельных состояний

в стеклах, известной из других экспериментов, и позволил качественно объяснить избыточную в законе Дебая ( $\sim T^3$ ) теплоемкость, наблюдаемую в стеклах при  $T \sim 1 \div 10$  К. Аналогичная дополнительная плотность колебательных состояний:  $\Delta Z(\nu) \sim (3 \div 4) \cdot 10^{-3} (\text{мэВ})^{-1}$ , наблюдается в металлических стеклах в области энергий  $\hbar\omega \lesssim 10$  мэВ (см. обзор /1/, § 7.6.3). Измерения же избыточной теплоемкости, возникающей при аморфизации металлических сплавов, прямо указывает на квазилокальный характер появляющихся при этом дополнительных колебательных возбуждений (см. /3/).

Оценим в связи с этим дополнительный вклад в рассеяние, обусловленный вторым членом в (33). Учитывая явные выражения для структурных факторов при рассеянии на КЛК (16) и на фононах (30), (31), получим оценку

$$\frac{\langle |G_{\ell}^x(\kappa)|^2 \rangle_{\ell}}{I_0(\kappa)} \sim n_{\ell} \langle |\beta(\kappa)|^2 \rangle_{\ell}, \quad (34)$$

где  $n_{\ell}$  — среднее число атомов, участвующих в КЛК. Поскольку среднее значение формфактора согласно (14)  $\langle |\beta(\kappa)|^2 \rangle_{\ell} \lesssim 1$ , то отношение (34) близко к единице. Следовательно, для отношения интенсивностей рассеяния на КЛК и на фононах имеем оценку

$$\frac{S_{\text{КЛК}}(\kappa, \omega)}{S_{\text{ph}}(\kappa, \omega)} \approx \frac{(1/\omega_D) D_T(\omega/\omega_D)}{(\kappa^2/2M\omega) Z(\omega)} \equiv \frac{\Delta Z(\nu)}{Z(\nu)}. \quad (35)$$

Полагая здесь  $Z(\omega) \approx 3\omega^2/\omega_D^3$  и выбирая характерные значения  $\kappa \approx 2\text{Å}^{-1}$ ,  $M = 60$  а.е.м.,  $\hbar\omega_D = 30$  мэВ, получим  $3\hbar^2\kappa^2/2M\omega_D \approx 10^{-2}$ , так что

$$\frac{\Delta Z(\nu)}{Z(\nu)} \approx \frac{10^2}{\nu} D_T(\nu) \approx \frac{10^2}{\nu} n_0 \text{th} \frac{\nu}{2t} \frac{\delta}{(\epsilon_r - \nu)^2 + \delta^2}, \quad (36)$$

где мы воспользовались оценкой (20a). Следовательно, в области низких энергий,  $\nu = (\omega/\omega_D) \sim 0,1$ , дополнительное неупругое рассеяние на КЛК становится сравнимым с рассеянием на фононах даже при низкой концентрации КЛК. Например, при  $n_0 = 10^{-4}$  и  $\nu = \epsilon_r \approx \delta = 0,1$  в области температур  $t < \nu$  получаем согласно (36)

$$\Delta Z(\nu) = \frac{D_T(\nu)/\omega_D}{\kappa^2/2M\omega} \approx Z(\omega) \approx 10^{-3} \text{ мэВ}^{-1}, \quad (37)$$

что соответствует наблюдаемой в экспериментах /1,2/ дополнительной плотности состояний.

Специфическая температурная зависимость  $\text{th}(\nu/2t)$  в (36) связана с псевдоспиновым представлением (11) (двухуровневым приближе-

нием) для КЛК. В более общей модели, учитывающей бозевский характер возбуждений для сильно ангармонических КЛК, эта зависимость отсутствует. Эту модель, а также более детальное сопоставление теории с экспериментом предполагается рассмотреть в отдельной работе.

В заключение один из авторов (Н.П.) хотел бы поблагодарить за гостеприимство дирекцию ИЯН им.Б.Кидрича, где эта работа была начата.

#### ЛИТЕРАТУРА

1. Suck J.B., Rudin H. — In: Glassy metals II (Ed. H.Beck, H.J.Guntherodt). Berlin, Springer, 1983, p.217.
2. Buchenau U., Nucker N., Dianoux A.J. — Phys.Rev.Lett., 1984, v.53, p.2316.
3. Панова Г.Х. и др. — ЖЭТФ, 1985, т.88, с.1012.
4. Anderson P.W. et al. — Phil.Mag., 1972, v.25, p.1.
5. Phillips W.A. — J.Low Temp.Phys., 1972, v.7, p. 351.
6. Maleyev S.V. — J.Phys.C., 1986, v.19, p.1657.
7. Карпов В.Г., Клиггер М.И., Игнатъев Ф.Н. — ЖЭТФ, 1983, т.84, с.760.
8. Carpenter J.M., Pelizzari C.A. — Phys.Rev.B, 1975, v.12, p.2391, 2397.
9. Buchenau U. — Zeit.Phys.B, 1985, v.58, p.181.
10. Динамические свойства твердых тел и жидкостей. Исследования методом рассеяния нейтронов (под ред. С.Лавси, Т.Шпрингер). М., Мир, 1980.
11. Боголюбов Н.Н., Тябликов С.В. — ДАН СССР, 1959, т.126, с.53.
12. Аксенов В.Л., Плакида Н.М., Стаменкович С. Рассеяния нейтронов сегнетоэлектриками. М., Энергоатомиздат, 1984.
13. Vujičić G.M., Plakida N.M. — Physica, 1984, v.128A, p.541.
14. Black J.L. — In: Glassy metals, v.1 (Ed. H.J.Guntherodt, H.Beck), Berlin, Springer, 1981.

Рукопись поступила в издательский отдел  
26 ноября 1986 года.

Вуйичич Г.М., Плакида Н.М., Стаменкович С.  
Неупругое рассеяние нейтронов в стеклах

P17-86-761

Рассмотрена модель стекла, в которой помимо акустических фононов учитываются сильно ангармонические низкочастотные квазилокальные колебания (КЛК). Получено общее выражение для сечения неупругого рассеяния и проведена оценка сечений рассеяния на фононах и КЛК. Показано, что в области низких энергий (2-3 мэВ) оба вклада одного порядка даже при низкой концентрации ( $\sim 10^{-4}$ ) КЛК.

Работа выполнена в Лаборатории теоретической физики ОИЯИ.

Сообщение Объединенного института ядерных исследований. Дубна 1986

#### Перевод авторов

Vujičić G.M., Plakida N.M., Stamenković S.S.  
Inelastic Neutron Scattering in Glasses

P17-86-761

A model of glass is considered where in addition to the acoustic phonons strongly anharmonic low-frequency quasilocal vibrations (QLV) are taken into account. A general expression for the inelastic-scattering cross section is obtained and the cross sections due to the phonons and QLV are evaluated. It is shown that in the low-frequency range (2-3 MeV) both the contributions are of the same order even for a low concentration ( $\sim 10^{-4}$ ) of QLV.

The investigation has been performed at the Laboratory of Theoretical Physics, JINR.

Communication of the Joint Institute for Nuclear Research. Dubna 1986